

## II-15 波の打ち上げ高さにおよぼす海洋構築物の形状効果について

大阪大学工学部 正員 横木 亨  
 大阪大学工学部 正員 ○岩田 好一郎  
 マレーシア工務局 正員 周 子純

### 1. 緒言

近年、海洋開発が提唱され、種々の開発構想が公表されている。海洋開発の根柢として海洋構築物が重要な意義を有していくが、比較的水深の深い海域に建設されるため大きな波浪の影響を受ける。したがって、構築物におよぼす波浪の影響が極めて大きいため、海洋構築物の設計に際しては越波および波圧などについて慎重に検討を加える必要がある。海中の構築物に作用する波力については近年比較的多くの研究者によって研究されてきているが、海中展望塔、石油基地などの構築物への波の打ち上げ高さにおよぼす構築物の幾何形状の効果については今まで充分論議されていない。とくに構築物が碎波帯近傍に設置される場合には、波圧同様、波の構築物への遇上が極めて大きいため、その適確な把握が必要とされる。筆者らは海洋構築物の幾何形状として、円柱、四角柱、三角柱状の島式による不透過構築物、および鋼管ペイリ群による透過構築物をとりあげて、形状変化に伴なう凡浪の遇上について実験を行なったところ興味ある結果を得たので報告することとする。

### 2. 実験装置とその方法、および、波の遇上高の整理について

実験水槽としては幅6m、長さ19m、高さ45cmの水槽を用い、一端に全長6mの一様勾配1/40の模型海岸を、他端にはフランプ型造波機が設置している。波高は豊島抵抗線式波高計により計測する。また波の遇上高は水に浸った部分のみが変色する用紙を構築物表面にとり、その変色する部分の高さより算定することとする。波が碎けて構築物に衝突する場合は図-1に示すように極めて不規則な遇上分布となるため、最も高い遇上高を示す値R<sub>max</sub>をもつて遇上高とするか、あるいは最も低い値R<sub>min</sub>をもつて遇上高とするか、あるいは最も平均的な値Rをもつて遇上高とするかで大きな差異が生じる。R<sub>max</sub>を年之記録には飛沫が加わっていることが多いため、R<sub>max</sub>を遇上高とするには妥当性を欠く。したがって、本論では有義波の概念を採用して、特に卓越する大きな遇上高を選びにして、大きな方から全体の1/3をとり、その平均をもつて遇上高Rと定義する。ただし、碎波しないで波が衝突する場合には、最大の遇上高を示す値をRとして採用する。なお実験諸元は表-1に示してある。

### 3. 波の打ち上げ高さにおよぼす海洋構築物の形状効果 パッキンゲムのπ定理によれば波の遇上高R/H<sub>o</sub>は

$$R/H_o = f(\alpha, \beta, \gamma H_o, \delta D, M, S_F, \text{入})$$

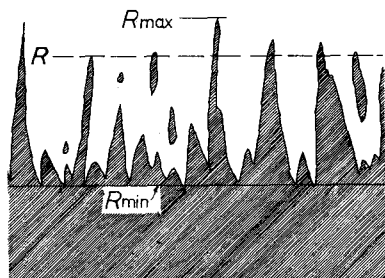


図-1 上遇高の算定

	SYM.	VALUE
孟井木深	h	385, 600, 670, 795
冲波波高	H <sub>o</sub>	5.8 cm, 3.0 cm
冲波周期	T	6.5~7.9 sec, 9.1~11.1 sec
構築物の形状	S <sub>F</sub>	△ □ ○ 亂れ円柱
波の入射方向	入	構築物へ直角, 四分之一射
構築物の寸法	D	60 cm (初期) 18 cm (後)
冲波波形面積	H <sub>L</sub>	0.030 ~ 0.088
構築物の相対水深	h/H <sub>o</sub>	0.65 ~ 1.4
底面勾配	S	1/40

表-1 実験諸元

で与えられる。ただし、 $H_0$ :冲波波高、 $T_0$ :周期、 $h$ :設置水深、 $D$ :構築物の代表長、 $b$ :構築物の配置間隔、 $M$ :構築物の数、 $S_F$ :構築物の形状、 $\alpha$ :波の構築物への入射方向である。島式による不透過構築物の場合は $b/D \times M$ の効果は考えなくてもよい。 $R/H_0$ における $b/H_0$ 、 $H_0/h$ の効果については従来から論議されて来て、 $D/H_0$ 、 $b/D$ 、 $M$ 、 $S_F$ 、 $\alpha$ の効果について充分論議されていない。島型式による不透過構築物の場合は図-2に示すように、構築物の設置水深が $1.0 < b/H_0 < 1.2$ の場合、つまり波が構築物直前で碎ける場合に、構築物の形状 $S_F$ と波の入射角度 $\alpha$ によって海上高が最大となることが認められる。また設置水深が $0.65 < b/H_0 < 1.45$ 範囲内での最大海上高における構築物の形状と波の入射方向の効果を $H_0/h$ をパラメーターにして示すと図-3によれば、波の入射方向に対する構築物のshape-angle $\theta$ が、三角柱の隅角部に波が来る $\theta = 60^\circ$ から、四角柱の隅角部の $\theta = 90^\circ$ 、次に円柱の $90^\circ < \theta < 180^\circ$ と $\theta$ が大きくなるにつれて海上高が大きくなり、三角柱の一辺 $\theta = 180^\circ$ に波が来るとき最大値( $R/H_0$ )<sub>max</sub> = 6.6となり、これは $\theta = 60^\circ$ の場合の4.4倍の海上高を示すことが認められ、構築物のshape-angle $\theta$ が波の入射方向に対して大きくなるにつれて海上高が大きくなる上りである。最大の海上高を示す三角柱状不透過構築物に対し、パイアルの群柱による透過構築物の海上高を示すと図-4によれば、最大の海上高( $R/H_0$ ) = 1.6で不透過構築物に比べて極めて小さい。また $b/D$ の効果は $b/D < 4/5$ 範囲に対して認められ、パイアルと波の干涉により波の海上高が大きくなるが、ほぼ1割程度の増加である。またパイアル群柱が形成する幾何形状と波の入射方向による海上高の変化は図-4で示す三角柱状の場合は波の来襲方向の変化しても海上高は変化しない、この点不透過構築物の場合と様相を異にするが、これは $D/H_0$ の効果に帰因すると思われる。なおパイアルの群柱による透過構築物による波の減衰については講演時に報告する。最後に、実験に当たっては西日本開発局に謝意を表す。

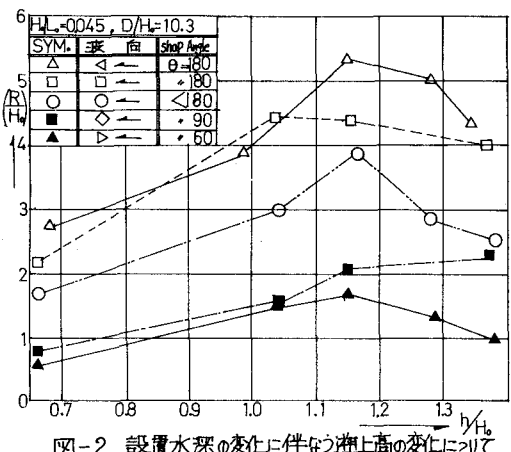


図-2 設置水深の変化に伴う海上高の変化について

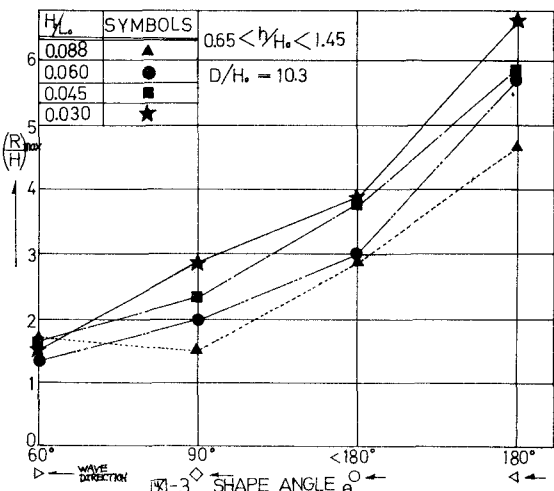


図-3 SHAPE ANGLE  $\theta$

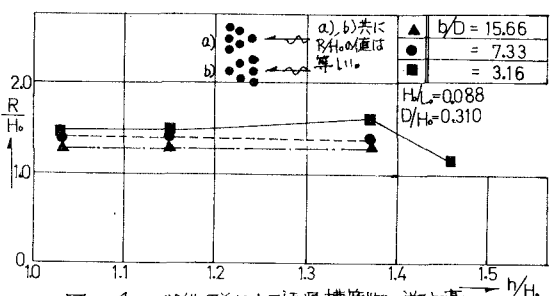


図-4 パイアル群柱による透過構築物の海上高